

## التوصية ITU-R BO.1443-2

**مخططات مرجعية هوائيات المحطات الأرضية في الخدمة الإذاعية الساتلية  
من أجل استخدامها لتقييم التداخل من خلال سواتل غير مستقرة  
بالنسبة إلى الأرض في نطاقات التردد المذكورة  
في التذييل 30 من لوائح الراديو\***

(المسألة ITU-R 73/6)

(2006-2002-2000)

**مجال التطبيق**

ترمي هذه التوصية إلى تزويد مخططات مرجعية ثلاثية الأبعاد لهوائيات المحطات الأرضية في الخدمة الإذاعية الساتلية (BSS) يمكن استخدامها لحساب التداخل الناجم عن سواتل الخدمة الثابتة الساتلية (FSS) غير المستقرة بالنسبة إلى الأرض في هوائيات المحطات الأرضية للخدمة الإذاعية الساتلية.

إن جمعية الاتصالات الراديوية للاتحاد الدولي للاتصالات،

إذ تضع في اعتبارها

- أ) أن مخططات الإشعاع المرجعية لهوائيات الاستقبال للخدمة الإذاعية الساتلية المستقرة بالنسبة إلى الأرض المحددة في الملحق 5 بالتذييل 30 من لوائح الراديو قد استعملت، فيما يتعلق بهوائيات المحطة الأرضية للخدمة الإذاعية الساتلية، من أجل إعداد خطط الخدمة الإذاعية الساتلية وتحديد مخطط إشعاع مرجعي يمثل غلافًا للفصوص الجانبية؛
- ب) أن مثل هذه المخططات المرجعية ضرورية من أجل حساب التداخل عن طريق استعمال مستقبلات ثابتة أو منقولة وسواتل مستقرة بالنسبة إلى الأرض في الخدمة الإذاعية الساتلية بهدف ضمان حماية مناسبة لخطط الخدمة الإذاعية الساتلية؛
- ج) أن في حالة وجود عدة مصادر للتداخل تختلف مواقعها بشدة حسب الوقت، تعتمد سوية التداخل المستقبل بشكل لا يمكن تفاديه على نقاط الذروة والحضيض في مخطط الكسب لهوائي المحطة الأرضية BSS المعرضة للتداخل؛
- د) أن ثمة حاجة، فيما يتعلق بالمحطات الأرضية BSS، إلى مخططات إشعاع مرجعية مناسبة كي تستخدم لتقييم التداخل الذي تسببه أنظمة الخدمة الإذاعية الساتلية غير المستقرة بالنسبة إلى الأرض؛
- هـ) أن تسهيل محاكاة التداخل باستعمال الحاسوب يستدعي أن تغطي المخططات المرجعية جميع الزوايا خارج المحور التي تتراوح بين  $0$  و  $\pm 180$  درجة في جميع الخطط؛
- و) أن المخططات المرجعية يجب أن تكون متسقة مع نتائج القياسات التي أجريت على مجموعة واسعة من هوائيات المحطات الأرضية BSS التي يستخدمها الجمهور؛
- ز) أن من الملائم تحديد مخططات مرجعية مختلفة لمختلف أحجام الهوائيات؛

\* إن الأساس الذي تقوم عليه المخططات في هذه التوصية، بما في ذلك منهجية تحليل ورسم البيانات والتي تقيس مدى مطابقة مجموعات البيانات للمخطط الموصى به، وارد في التقرير ITU-R BO.2029 - قياسات مخطط هوائي المحطة الأرضية في الخدمة الإذاعية الساتلية وما يرتبط بها من تحليلات. ويتوفر هذا التقرير مشفوعاً بمجموعات البيانات الخام والجداول الحسابية المستخدمة لإجراء التحليل البياني في قرص CD-ROM يُطلب من الاتحاد.

ح) أن خصائص هذه المخططات قد تكون هامة عند قبولية التداخلات non-GSO، في حالة الهوائيات الصغيرة ذات التغذية المتخالفة مثلاً،

### توصي

- 1 باستعمال مخططات الإشعاع المرجعية لهوائيات المحطات الأرضية الموصوفة في الملحق 1 من أجل حساب التداخلات التي تتسبب فيها سواتل الخدمة الثابتة الساتلية غير المستقرة بالنسبة إلى الأرض؛
  - 2 باستعمال الطريقة الموصوفة في الملحق 2 لتحويل زوايا السمات وزوايا ارتفاع الساتل non-GSO موضوع البحث إلى نفس نظام الإحداثيات المستخدم في وضع مخطط الهوائي ثلاثي الأبعاد؛
  - 3 بأن تعتبر الملاحظتان التاليتان جزءاً من هذه التوصية.
- الملاحظة 1 -** قد يكون مخطط إشعاع الاستقطاب المتقاطع ذا أهمية في حساب التداخل الناجم عن السواتل non-GSO. وتحتاج هذه المسألة إلى مزيد من الدراسة.
- الملاحظة 2 -** تركز هذه التوصية على قياسات وتحليل هوائيات مكافئية. وفي حالة تصميم هوائيات جديدة لاستخدامها في الخدمة الإذاعية الساتلية، يتعين تحديث المخططات المرجعية الواردة في هذه التوصية تبعاً لذلك.

## الملحق 1

### مخططات الإشعاع المرجعية لهوائيات الخدمة الإذاعية الساتلية (BSS)

إذا كانت  $11 \leq D/\lambda \leq 25,5$  عندئذ

$$\begin{array}{ll}
 \text{عندما } 0 < \varphi < \varphi_m & G(\varphi) = G_{max} - 2.5 \times 10^{-3} \left( \frac{D\varphi}{\lambda} \right)^2 \\
 \text{عندما } \varphi_m < \varphi < 95\lambda/D & G(\varphi) = G_1 \\
 \text{عندما } 95\lambda/D < \varphi < 36,3^\circ & G(\varphi) = 29 - 25 \log(\varphi) \\
 \text{عندما } 36,3^\circ < \varphi < 50^\circ & G(\varphi) = -10
 \end{array}$$

إذا كانت  $56,25^\circ \leq \theta < 123,75^\circ$  عندئذ

$$\begin{array}{ll}
 \text{عندما } 50^\circ \leq \varphi < 90^\circ & G(\varphi) = M_1 \cdot \log(\varphi) - b_1 \\
 \text{عندما } 90^\circ \leq \varphi < 180^\circ & G(\varphi) = M_2 \cdot \log(\varphi) - b_2
 \end{array}$$

حيث:

$$b_1 = M_1 \cdot \log(50) + 10 \quad \text{و} \quad M_1 = \frac{2 + 8 \cdot \sin(\theta)}{\log\left(\frac{90}{50}\right)}$$

حيث:

$$b_2 = M_2 \cdot \log(180) + 17 \quad \text{و} \quad M_2 = \frac{-9 - 8 \cdot \sin(\theta)}{\log\left(\frac{180}{90}\right)}$$

إذا كانت  $0^\circ \leq \theta < 56,25^\circ$  و  $123,75^\circ \leq \theta < 180^\circ$  عندئذ

$$50^\circ \leq \varphi < 120^\circ \quad \text{عندما} \quad G(\varphi) = M_3 \cdot \log(\varphi) - b_3$$

$$120^\circ \leq \varphi < 180^\circ \quad \text{عندما} \quad G(\varphi) = M_4 \cdot \log(\varphi) - b_4$$

حيث:

$$b_3 = M_3 \cdot \log(50) + 10 \quad \text{و} \quad M_3 = \frac{2 + 8 \cdot \sin(\theta)}{\log\left(\frac{120}{50}\right)}$$

حيث:

$$b_4 = M_4 \cdot \log(180) + 17 \quad \text{و} \quad M_4 = \frac{-9 - 8 \cdot \sin(\theta)}{\log\left(\frac{180}{120}\right)}$$

إذا كانت  $180^\circ \leq \theta < 360^\circ$  عندئذ

$$50^\circ \leq \varphi < 120^\circ \quad \text{عندما} \quad G(\varphi) = M_5 \cdot \log(\varphi) - b_5$$

$$120^\circ \leq \varphi < 180^\circ \quad \text{عندما} \quad G(\varphi) = M_6 \cdot \log(\varphi) - b_6$$

حيث:

$$b_5 = M_5 \cdot \log(50) + 10 \quad \text{و} \quad M_5 = \frac{2}{\log\left(\frac{120}{50}\right)}$$

حيث:

$$b_6 = M_6 \cdot \log(180) + 17 \quad \text{و} \quad M_6 = \frac{-9}{\log\left(\frac{180}{120}\right)}$$

حيث:

D: قطر الهوائي

λ: طول الموجة معبراً عنها بنفس الوحدة مثل القطر

G: الكسب

φ: زاوية خارج الهوائي بالنسبة إلى محور التسديد (بالدرجات)

θ: زاوية مستوية للهوائي (بالدرجات) (يقابل السميت الذي يبلغ 0 درجة المستوي الأفقي).

$$G_{max} = 20 \log \left( \frac{D}{\lambda} \right) + 8,1 \quad \text{dBi}$$

$$G_1 = 29 - 25 \log \left( 95 \frac{\lambda}{D} \right) \quad \text{dBi}$$

$$\varphi_m = \frac{\lambda}{D} \sqrt{\frac{G_{max} - G_1}{0,0025}} \quad \text{بالدرجات}$$

إذا كانت  $25,5 < D/\lambda \leq 100$  عندئذ

$< \varphi < \varphi_m$	0	عندما	dBi	$G(\varphi) = G_{max} - 2,5 \times 10^{-3} (D\varphi/\lambda)^2$
$\leq \varphi < (95\lambda/D) \varphi_m$		عندما		$G(\varphi) = G_1$
$\leq \varphi < 33,1^\circ$	$(95\lambda/D)$	عندما	dBi	$G(\varphi) = 29 - 25 \log \varphi$
$< \varphi \leq 80^\circ$	$33,1^\circ$	عندما	dBi	$G(\varphi) = -9$
$< \varphi \leq 120^\circ$	$80^\circ$	عندما	dBi	$G(\varphi) = -4$
$< \varphi \leq 180^\circ$	$120^\circ$	عندما	dBi	$G(\varphi) = -9$

حيث:

$$\text{dBi} \quad G_{max} = 20 \log (D/\lambda) + 8,1$$

$$\text{dBi} \quad G_1 = 29 - 25 \log (95\lambda/D)$$

$$\sqrt{\frac{G_{max} - G_1}{0,0025}} \varphi_m = (\lambda/D)$$

إذا كانت  $D/\lambda > 100$

$< \varphi < \varphi_m$	0	عندما	dBi	$G(\varphi) = G_{max} - 2,5 \times 10^{-3} (D\varphi/\lambda)^2$
$\leq \varphi < \varphi_r$	$\varphi_m$	عندما		$G(\varphi) = G_1$
$\leq \varphi < 10^\circ$	$\varphi_r$	عندما	dBi	$G(\varphi) = 29 - 25 \log \varphi$
$\leq \varphi < 34,1^\circ$	$10^\circ$	عندما	dBi	$G(\varphi) = 34 - 30 \log \varphi$
$\leq \varphi < 80^\circ$	$34,1^\circ$	عندما	dBi	$G(\varphi) = -12$
$\leq \varphi < 120^\circ$	$80^\circ$	عندما	dBi	$G(\varphi) = -7$
$\leq \varphi < 180^\circ$	$120^\circ$	عندما	dBi	$G(\varphi) = -12$

حيث:

$$G_{max} = 20 \log (D/\lambda) + 8,1 \quad \text{dBi}$$

$$G_1 = -1 + 15 \log (D/\lambda) \quad \text{dBi}$$

$$\varphi_m = (\lambda/D) \sqrt{\frac{G_{max} - G_1}{0,0025}}$$

$$\varphi_r = 15,85 (D/\lambda)^{-0,6} \quad \text{بالدرجات}$$

## الملحق 2

## تحويلات هندسية تستعمل مع نموذج الهوائي ثلاثي الأبعاد

تعريف الزاوية  $\theta$ 

تعرف الزاوية  $\theta$  بأنها الزاوية المستوية للساتل غير المستقر بالنسبة إلى الأرض (non-GSO) نسبة إلى مستوى درجة الصفر في نموذج الهوائي (ما يقابل التركيب الشائع من القاعدة متخالف التغذية). ومن منظور المحطة الأرضية يكون الخط  $\theta = 0$  إلى اليمين وقيمة  $\theta$  تزداد بعكس اتجاه عقارب الساعة.

منهج الحساب

يبين الشكل 1 نهجاً هندسياً لحساب الزاوية المستوية  $\theta$ . وتظهر جميع الحسابات باستعمال الدرجات، ومع ذلك لا بد من تحويلها كالمعتاد إلى وحدة الراديان عندما تكون الحسابات مثلثية.

المدخلات

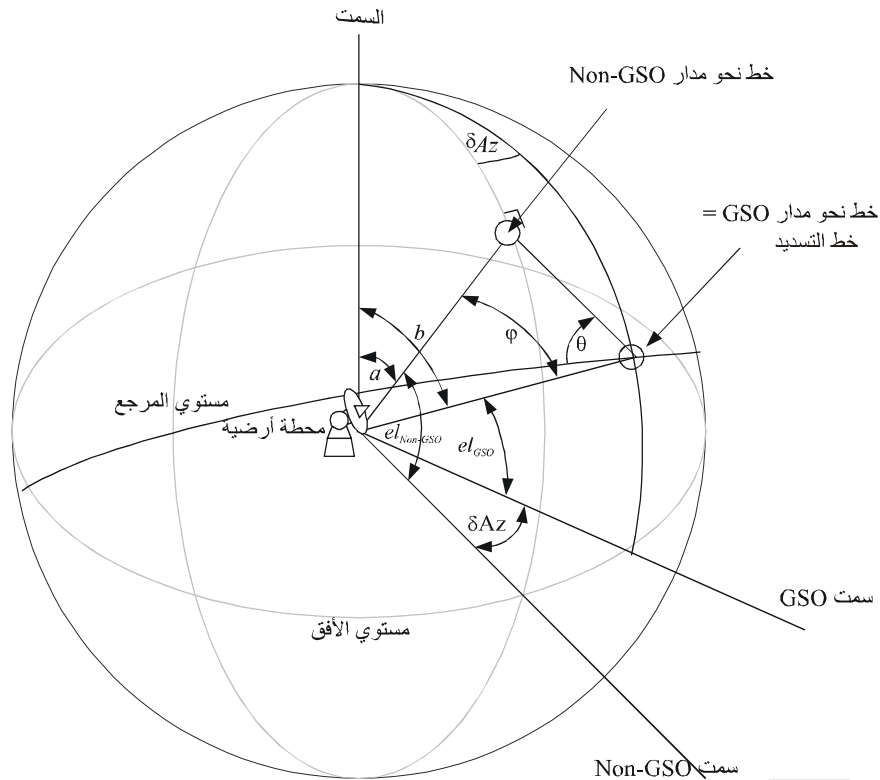
السواتل المستقرة بالنسبة إلى الأرض (السمت، الارتفاع)

السواتل غير المستقرة بالنسبة إلى الأرض (السمت، الارتفاع)

الملاحظة 1 - المطلوب هو الفرق من حيث السمت فإذا توفر ذلك لا حاجة إلى معرفة القيم الحقيقية للسمت.

ويبين القسم التالي كيفية حساب هذه المعلمات من متجهات كل محطة.

الشكل 1



في الشكل 1:

$$a = 90 - el_{non-GSO}$$

$$b = 90 - el_{GSO}$$

$$\delta Az = Az_{non-GSO} - Az_{GSO}$$

ينبغي أن تحدد قيمة  $\delta Az$  بحيث تقع ضمن المجال {من -180 إلى +180}

عندئذ يمكن حساب الزاوية  $\varphi$  خارج المحور (زاوية الفصل الموقعي بين الساتلين) باستخدام الهندسة الكروية:

$$\cos(c) = \cos(a)\cos(b) + \sin(a)\sin(b)\cos(C)$$

حيث  $\varphi = c$  و  $\delta Az = C$

ويمكن استخدام الصيغة ذاتها لتحديد الزاوية  $B$ :

$$\cos(B) = \frac{\cos(b) - \cos(c)\cos(a)}{\sin(c)\sin(a)}$$

تشتق منها الزاوية المستوية  $\theta$ :

$$\theta = 90 - B \quad \text{تكون} \quad (B < 90 \text{ و } \delta Az > 0) \text{ كانت}$$

$$\theta = 450 - B \quad \text{تكون} \quad (B > 90 \text{ و } \delta Az > 0) \text{ كانت}$$

$$\theta = 90 + B \quad \text{تكون} \quad (\delta Az < 0) \text{ كانت}$$

إذا كان لكلا الساتلين نفس السمات ولذا  $\delta Az = 0$ ، عندئذ

$$|el_{GSO} - el_{non-GSO}| \varphi =$$

$$\theta = 270 \quad \text{وإذا كانت} \quad el_{GSO} > el_{non-GSO}$$

$$\theta = 90 \quad \text{وإلا}$$

بيانات مثال

للمواقع التالية:

الارتفاع (km)	خط الطول (بالدرجات)	خط العرض (بالدرجات)	الخطة
0	20	10	محطة أرضية
35 786,055	30	0	ساتل GSO
1 469,200	5-	0	ساتل Non-GSO

عندئذ يمكن حساب قيم السمات/الارتفاع التالية للمحطة الأرضية (فيما يتعلق بأفق المحطة الأرضية واتجاه الشمال):

الارتفاع (بالدرجات)	السمات (بالدرجات)	الخطة
73,4200	134,5615	ساتل GSO
10,0300	110,4248-	ساتل Non-GSO

ومن ثم تكون الزاوية خارج المحور والزاوية المستوية:

المحطة	$\varphi$ (خارج المحور) (بالدرجات)	$\theta$ (مستوية) (بالدرجات)
ساتل Non-GSO	87,2425	26,69746

حساب السمات والارتفاع

تتبع الخطوات التالية لحساب السمات والارتفاع من المتجهات المعنية.

بافتراض:

$$\begin{aligned} \underline{r}_G & \text{متجه موقع المحطة الأرضية:} \\ \underline{r}_S & \text{متجه موقع الساتل GSO:} \\ \underline{r}_N & \text{متجه موقع الساتل non-GSO:} \end{aligned}$$

يستخرج:

$$\begin{aligned} \underline{r}_{GS} &= \underline{r}_S - \underline{r}_G & \text{المتجه من المحطة الأرضية إلى الساتل GSO:} \\ \underline{r}_{GN} &= \underline{r}_N - \underline{r}_G & \text{المتجه من المحطة الأرضية إلى الساتل non-GSO:} \\ \hat{\underline{r}}_G & & \text{وحدة قياس متجه موقع المحطة الأرضية:} \end{aligned}$$

عندئذ تكون زاويتا الارتفاع:

$$\begin{aligned} el_S &= 90 - \angle(\underline{r}_{GS}, \underline{r}_G) \\ el_N &= 90 - \angle(\underline{r}_{GN}, \underline{r}_G) \end{aligned}$$

ولحساب الفرق من حيث السمات يتم تحويل المتجه من المحطة الأرضية إلى الساتل GSO وإلى الساتل non-GSO بحيث يكون كلاهما في المستوي الأفقي المتعامد مع متجه السمات، أي:

$$\begin{aligned} \underline{r}'_{GS} &= \underline{r}_{GS} - (\hat{\underline{r}}_G \cdot \underline{r}_{GS}) \hat{\underline{r}}_G \\ \underline{r}'_{GN} &= \underline{r}_{GN} - (\hat{\underline{r}}_G \cdot \underline{r}_{GN}) \hat{\underline{r}}_G \end{aligned}$$

عندئذ:

$$\delta Az = \angle(\underline{r}'_{GS}, \underline{r}'_{GN})$$

وتكون علامة  $\delta Az$  رياضياً هي نفس علامة الفرق من حيث درجة خط العرض بين الساتلين.